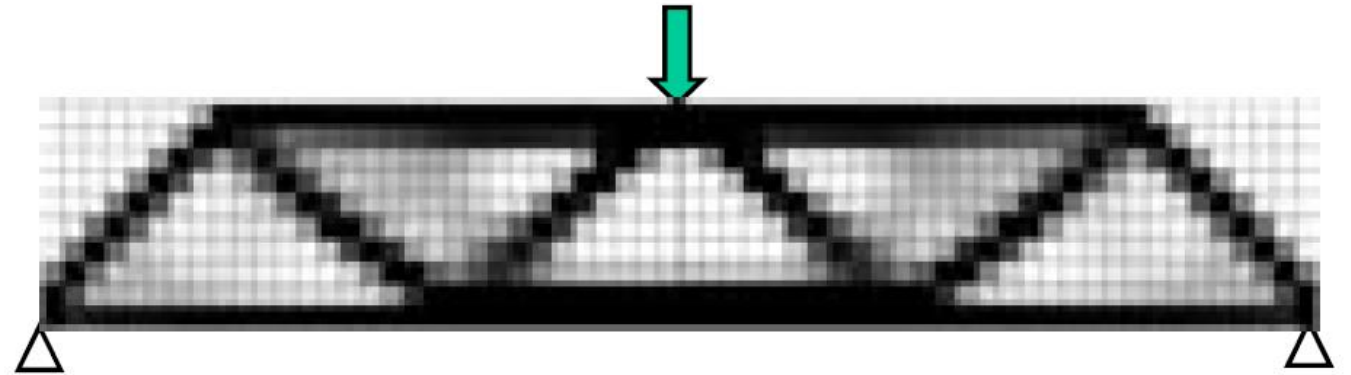


Método SIMP



PMR5250 – Aula 7

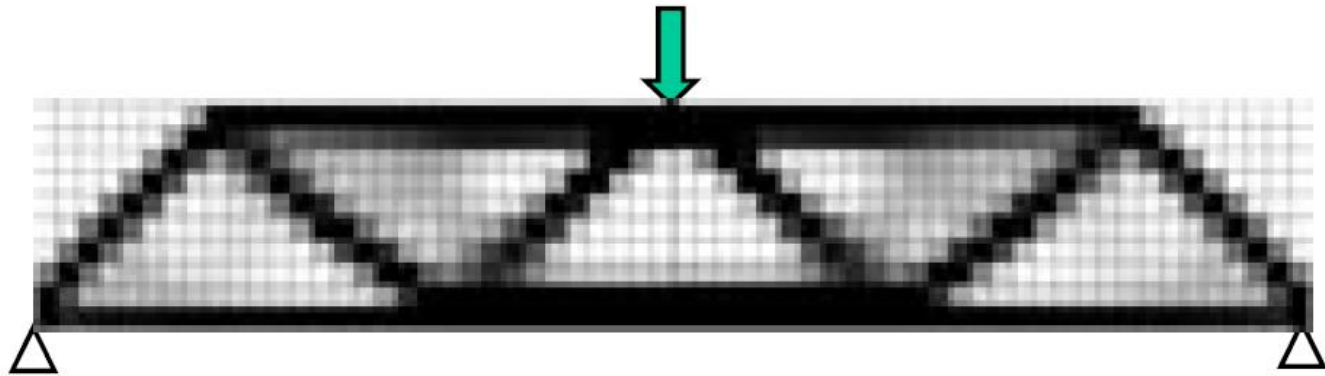
Docentes: Prof. Dr. Emílio C. N. Silva
Dr. Renato Picelli



Métodos baseados em densidade

- Método SIMP.
- Dúvidas sobre análise de sensibilidade.
- Código educacional em Matlab.
- Fechar o loop do nosso código.
- Outros problemas.

Solid Isotropic Material with Penalization (SIMP)

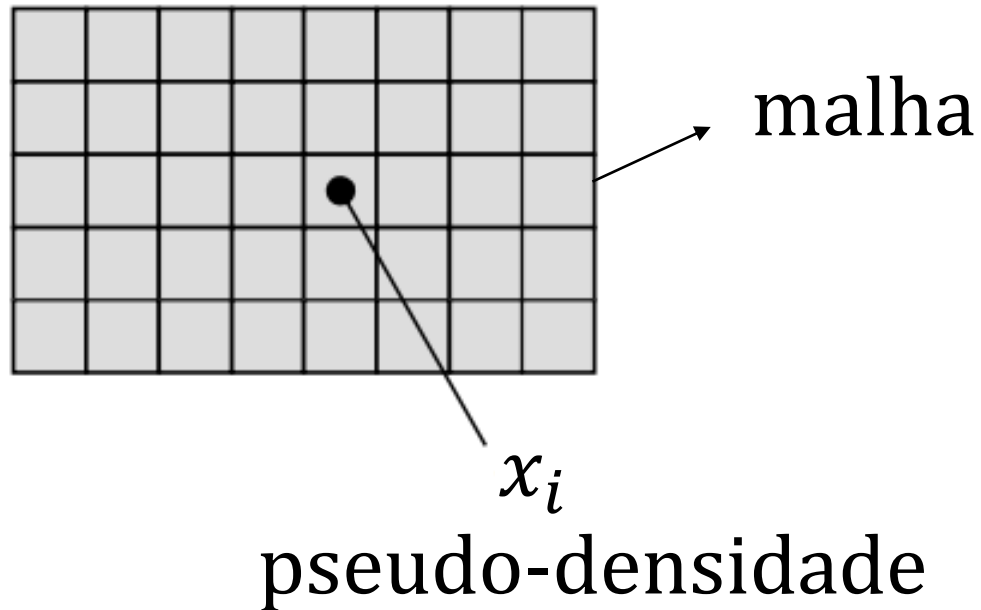


$$0 \leq x_{\min} \leq x_i \leq 1$$

$$0 \leq \rho_{\min} \leq \rho_i \leq 1$$

x_i = variável de projeto
ou pseudo-densidade

Modelo de Material – “Material Law”



SIMP

$$E_i = x_i^p E_0$$

p : penalidade

E : Módulo de elasticidade

$$\mathbf{K}_i = x_i^p \mathbf{k}_0$$

Modelo de Material – “Material Law”

$$\mathbf{K}_i = \int_{\Omega} \mathbf{B}^T \mathbf{D} \mathbf{B} d\Omega$$

$$\mathbf{D} = \frac{x_i^p E_0}{1 - \nu^2} \begin{bmatrix} 1 & \nu & 0 \\ \nu & 1 & 0 \\ 0 & 0 & \frac{(1 - \nu)}{2} \end{bmatrix}$$

$$\mathbf{D} = x_i^p \mathbf{D}_0$$

SIMP

$$E_i = x_i^p E_0$$

p : penalidade

E : Módulo de elasticidade

$$\mathbf{K}_i = x_i^p \mathbf{k}_0$$

Modelo de Material – “Material Law”

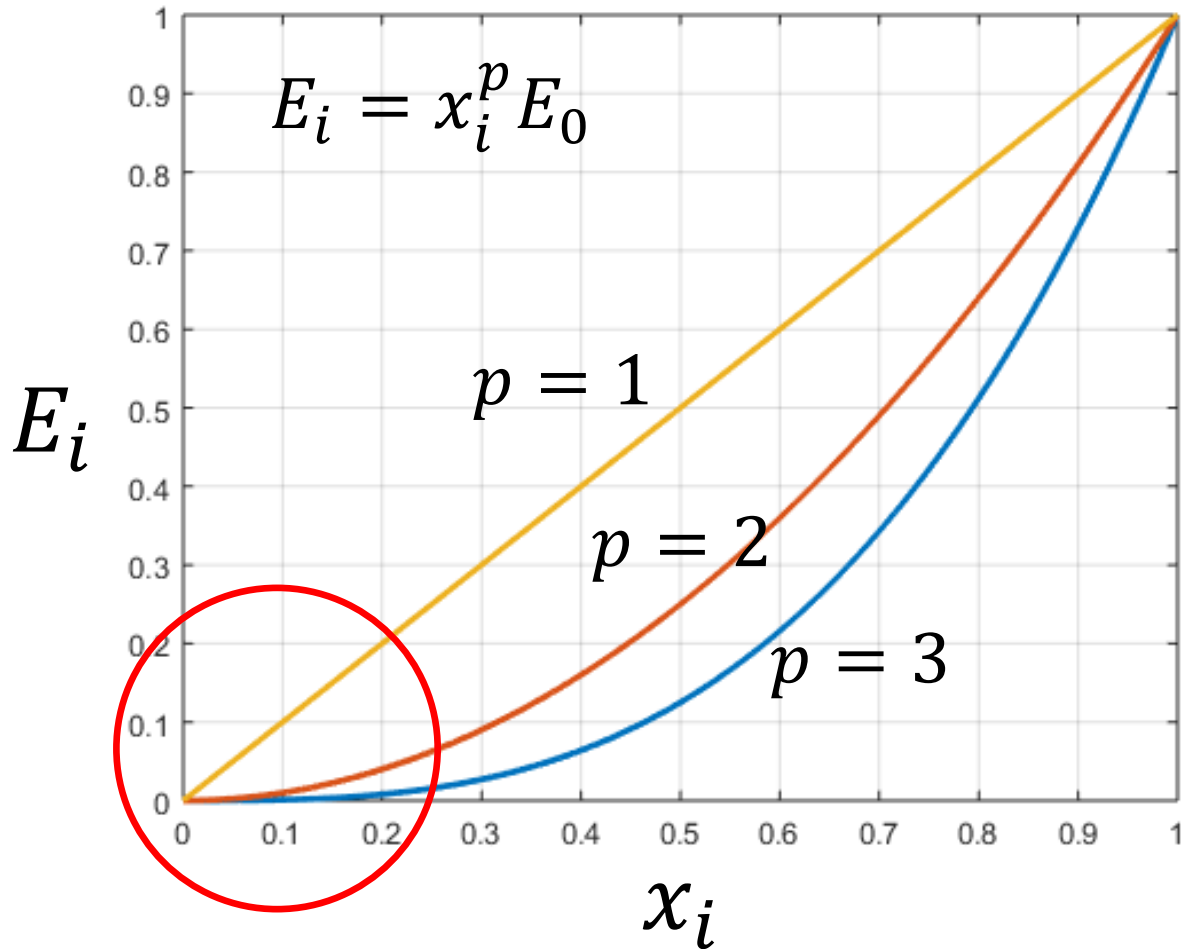
$$\mathbf{M}_i = \int_{\Omega} x_i \rho_0 \mathbf{H}^T \mathbf{H} d\Omega$$

$$\mathbf{M}_i = x_i \mathbf{m}_0$$

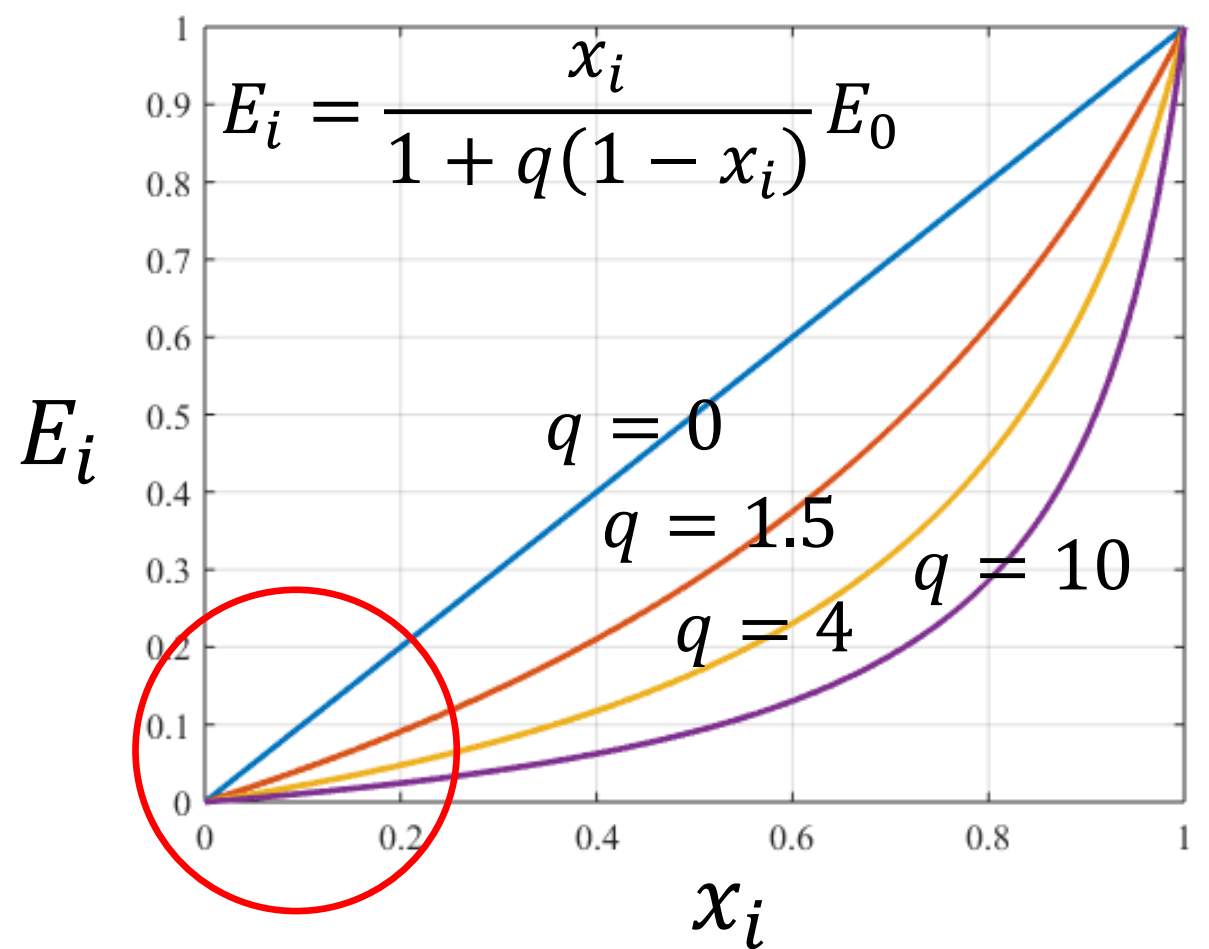
$$\rho_i = x_i \rho_0$$

Interpolação linear

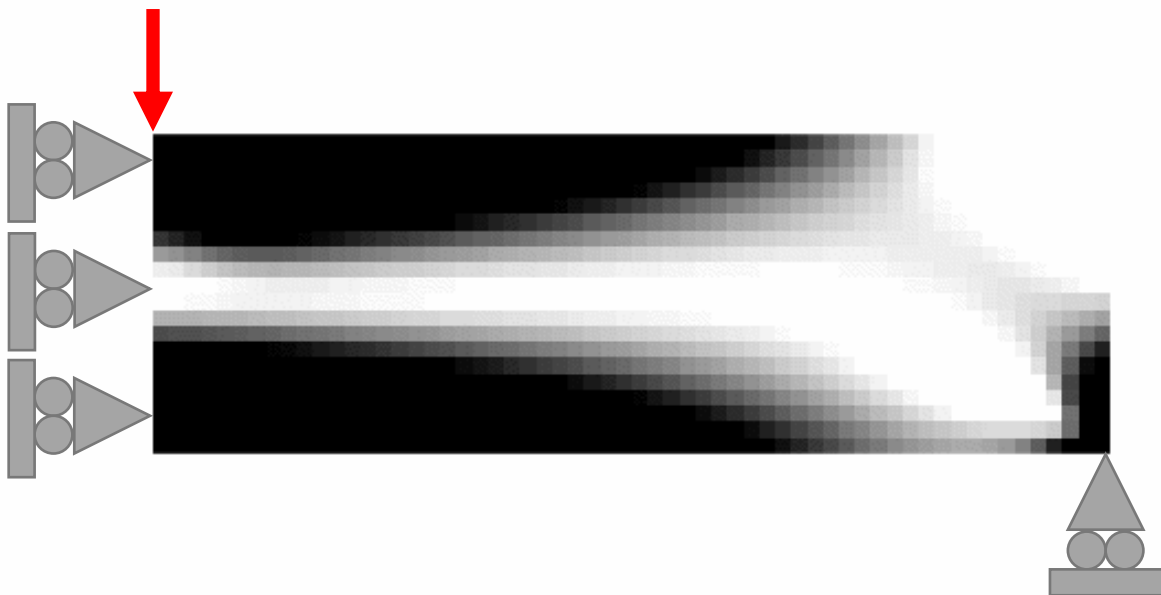
SIMP



RAMP



Algoritmo



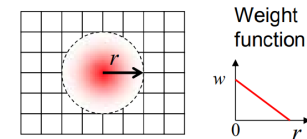
1. Definir parâmetros de material e otimização;
2. Discretizar domínio de projeto;
3. Realizar análise por elementos finitos;

$$E_i = \rho_i^p E_0 \quad \mathbf{Ku} = \mathbf{f}$$

4. Calcular sensibilidades;

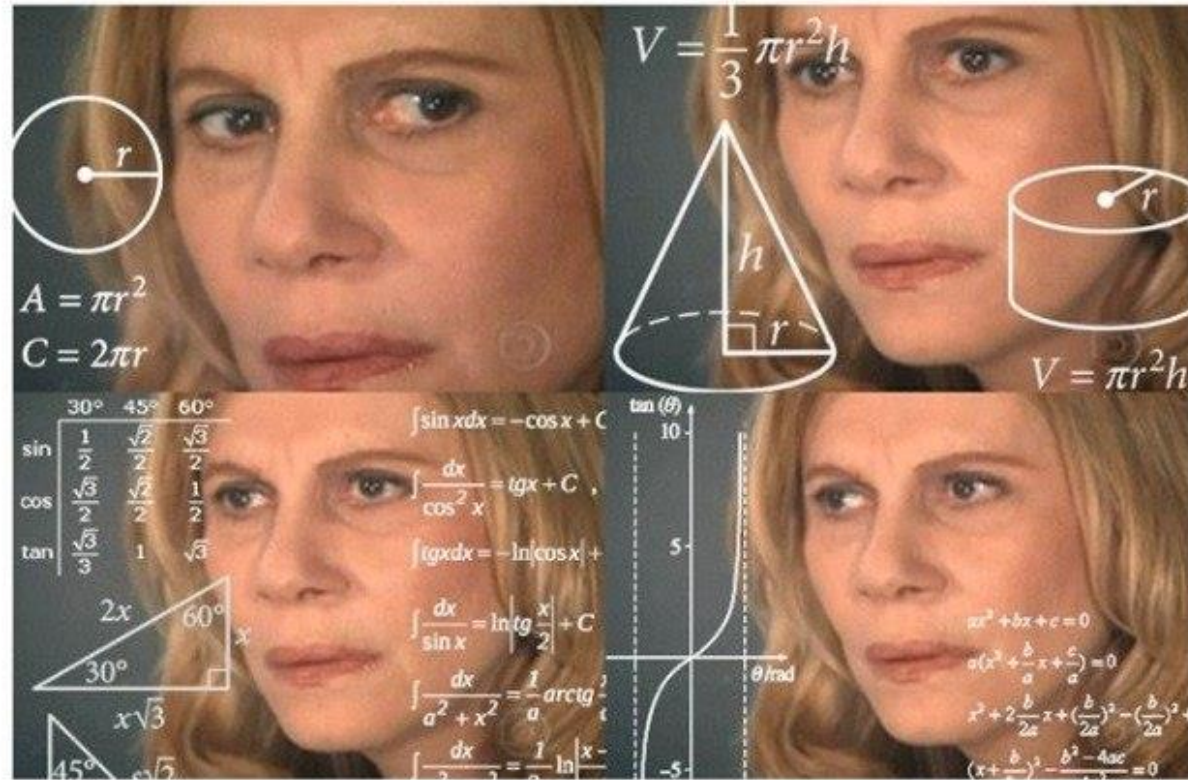
$$\frac{df(\mathbf{x})}{dx_i} = -\frac{1}{2} p x_i^{p-1} \mathbf{u}_i^T \mathbf{K}_i \mathbf{u}_i \quad \frac{dg}{dx_i} = \frac{V_i}{V_0}$$

5. Filtro numérico;



6. Redistribuição de material (otimizador);
7. Atualização das variáveis (densidades);
8. Análise de convergência.

Dúvidas sobre análise de sensibilidade?



Possíveis erros da Tarefa 2

- Montagem da matriz global

$$\mathbf{K}(\mathbf{x}) = \mathbb{A} \rightarrow x_i^p \mathbf{K}_i \qquad \mathbf{M}(\mathbf{x}) = \mathbb{A} \rightarrow x_i \mathbf{M}_i$$

- Erro na expressão analítica

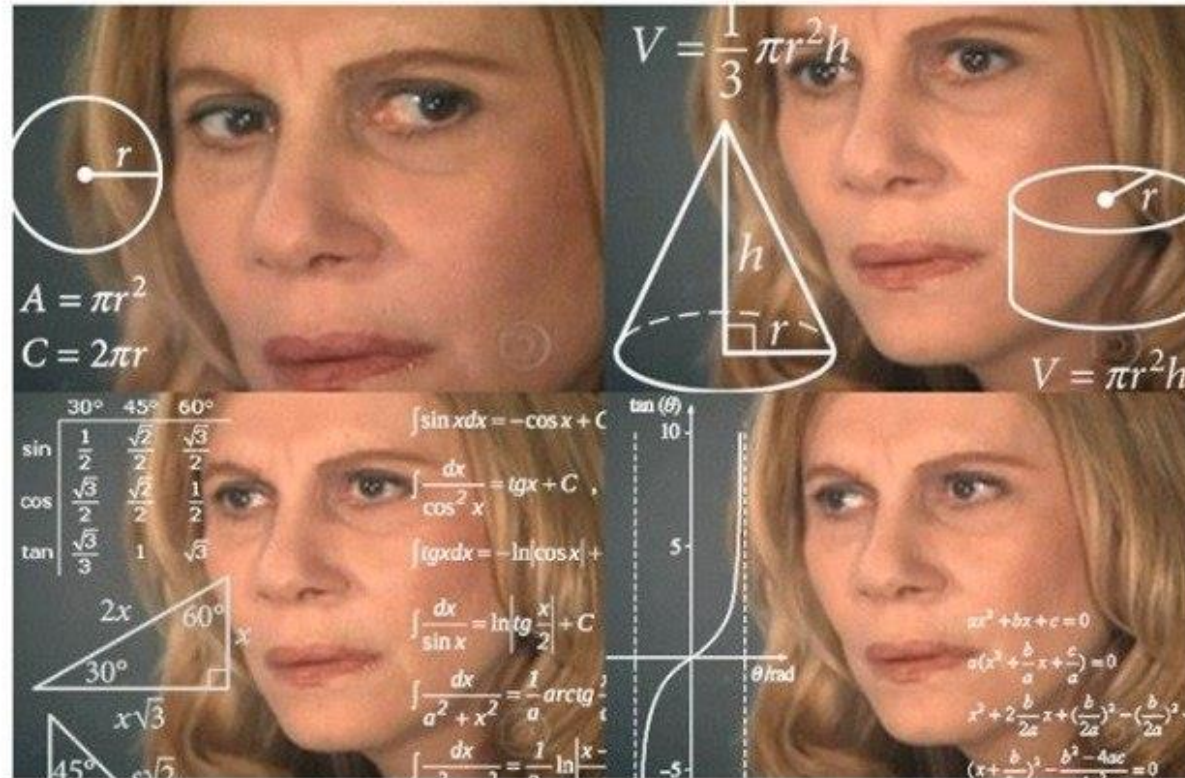
$$\frac{d\mu}{dx_i} = \frac{\mathbf{u}^T \left(\frac{d\mathbf{K}}{dx_i} - \mu \frac{d\mathbf{M}}{dx_i} \right) \mathbf{u}}{\mathbf{u}^T \mathbf{M} \mathbf{u}}$$

$$f(x) = \mu = \omega^2$$

$$\frac{d\mathbf{K}}{dx_i} = p x_i^{p-1} \mathbf{K}_i$$

$$\frac{d\mathbf{M}}{dx_i} = \mathbf{M}_i$$

Dúvidas sobre análise de sensibilidade?



A 99 line topology optimization code written in Matlab

O. Sigmund

Exercício 1

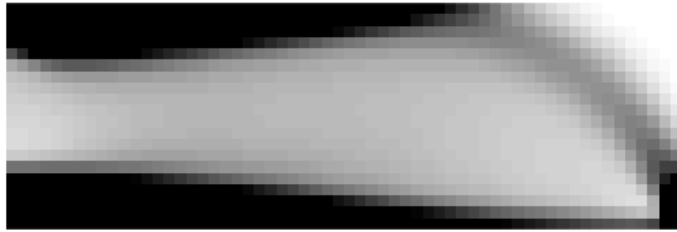
Primeiro exercício: entrar no site <http://www.topopt.mek.dtu.dk/>
Entrar na aba de *softwares* e baixar os códigos “99 line” e “88 line”.

Analisar a influência da penalização, raio do filtro e discretização.

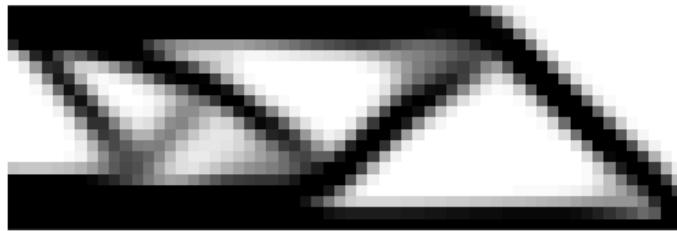


Penalização

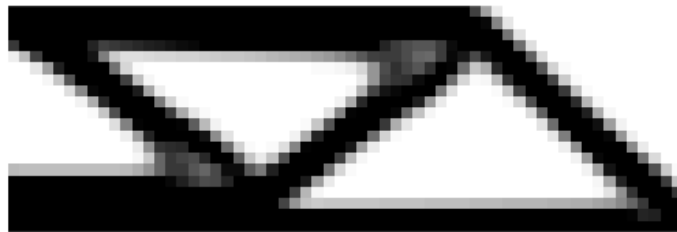
$p = 1.0$



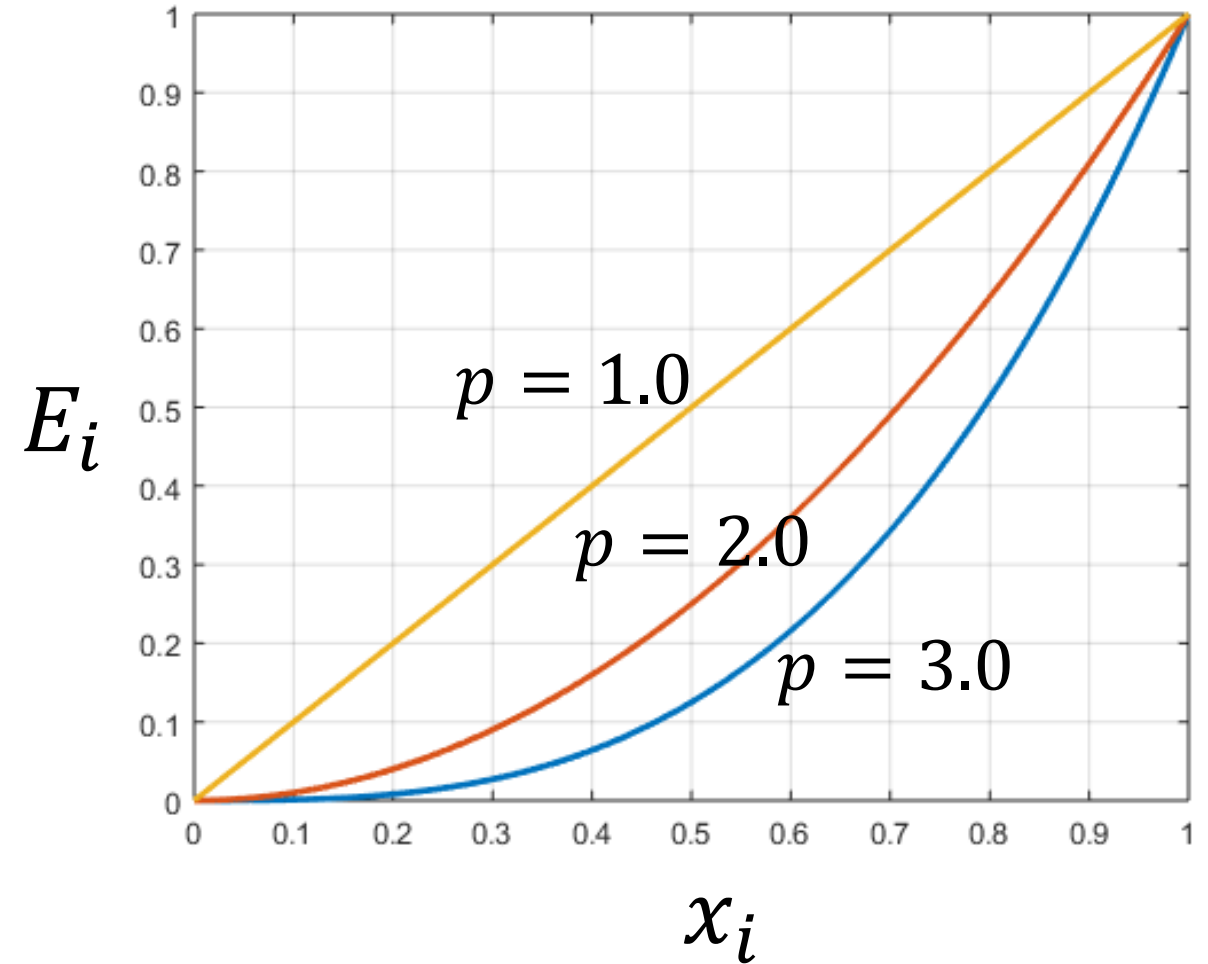
$p = 2.0$



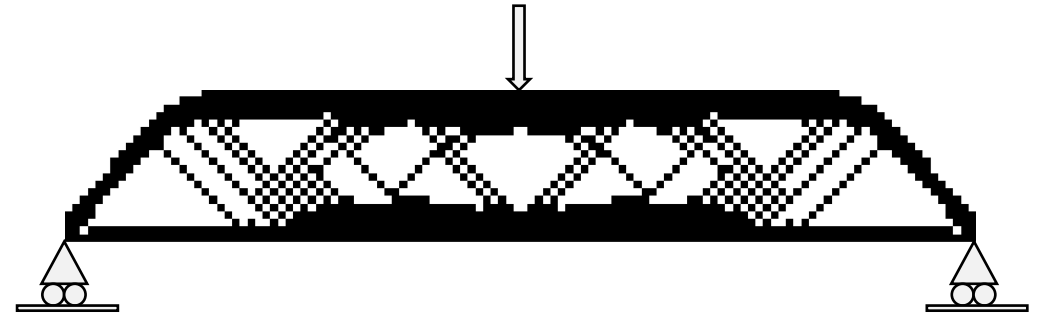
$p = 3.0$



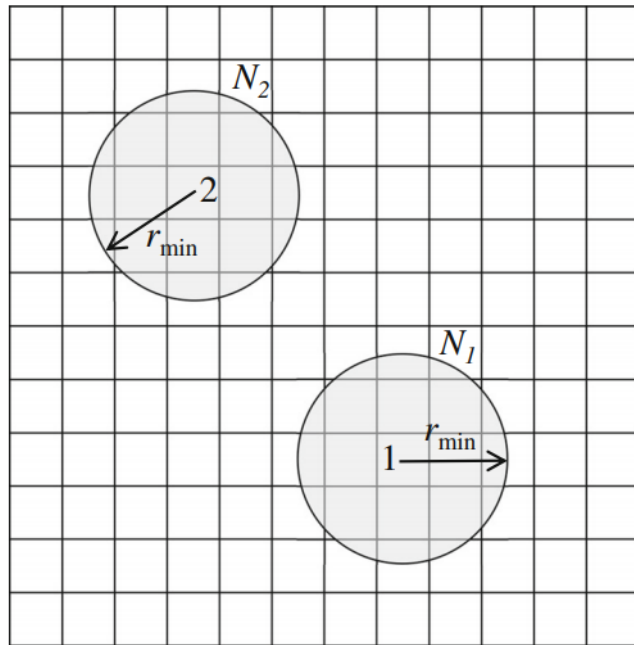
$$E_i = x_i^p E_0$$



Tabuleiro de Xadrez



- Filtro de sensibilidade:



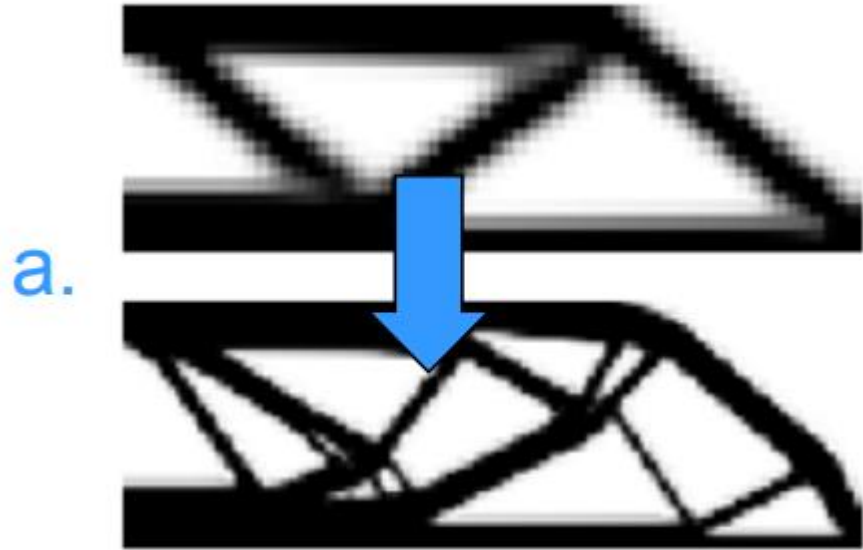
$$\frac{\widehat{\partial c}}{\partial x_e} = \frac{1}{\max(\gamma, x_e) \sum_{i \in N_e} H_{ei}} \sum_{i \in N_e} H_{ei} x_i \frac{\partial c}{\partial x_i}$$

$$H_{ei} = \max(0, r_{\min} - \Delta(e, i))$$

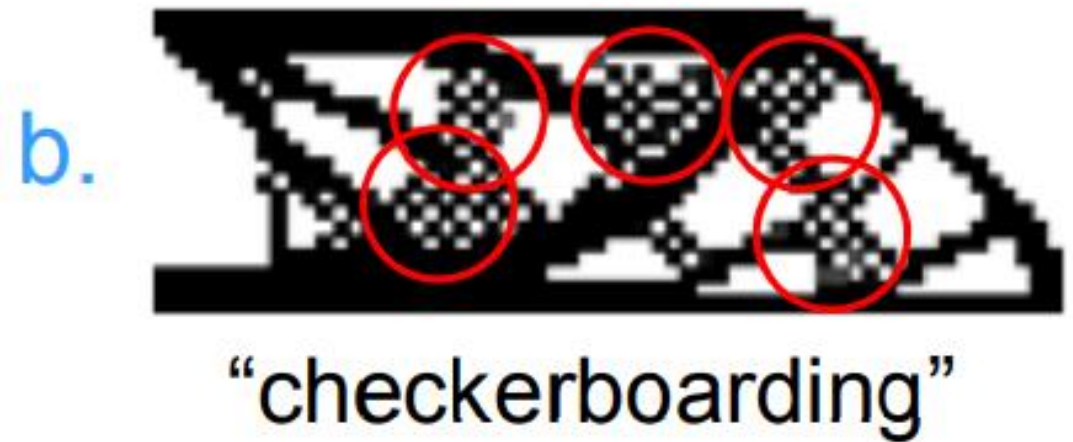
fea.H

Problemas numéricos

- a. dependência da malha e b. rigidez numérica artificial

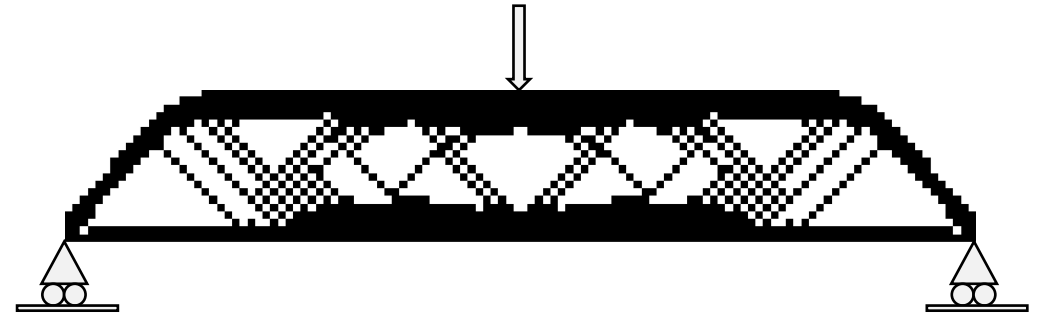


Refinamento da malha

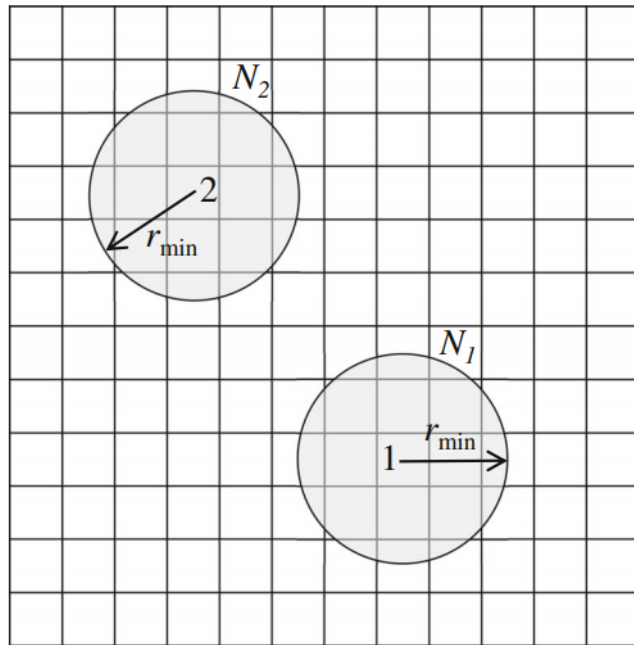


“checkerboarding”

Tabuleiro de Xadrez



- Filtro de densidade:



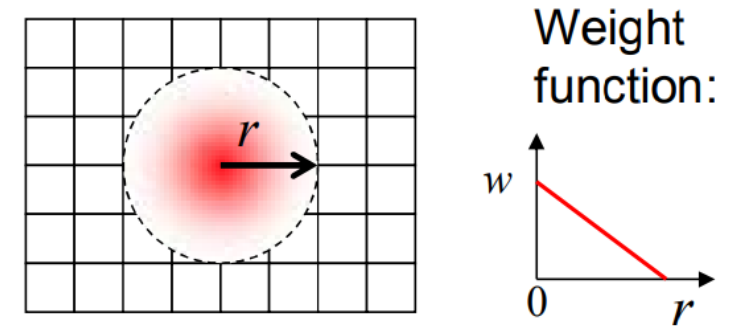
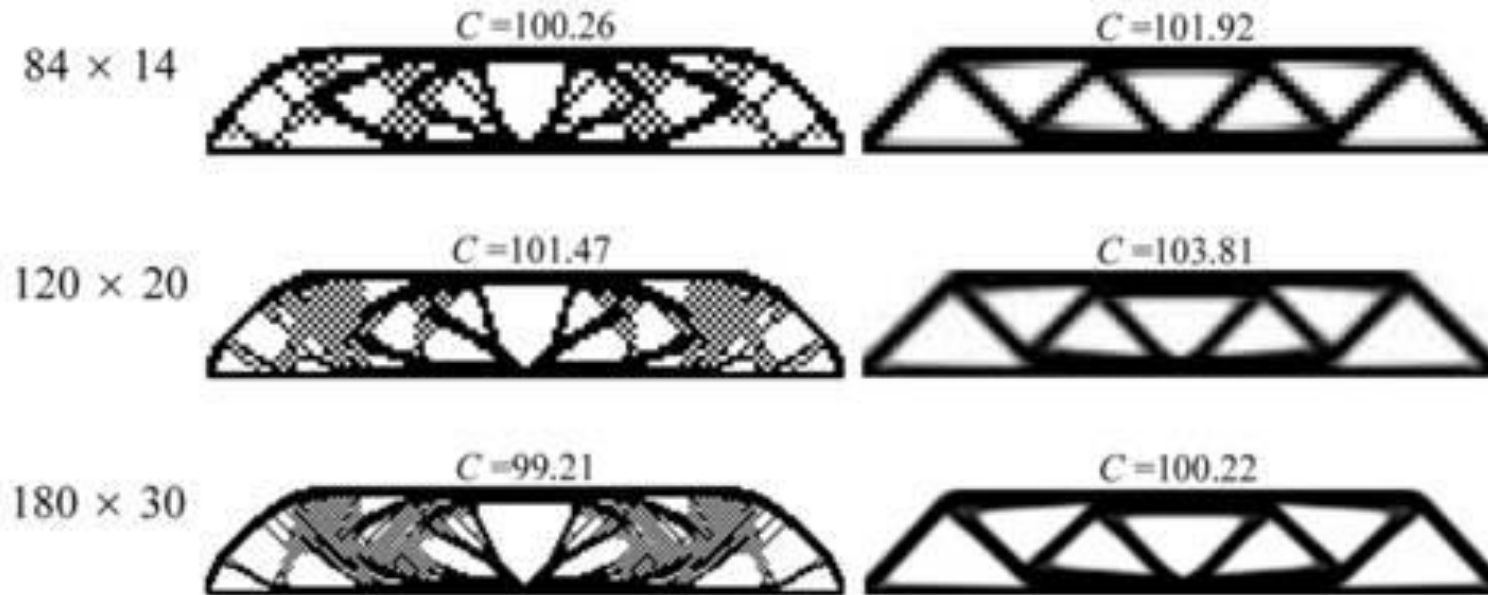
$$\tilde{x}_e = \frac{1}{\sum_{i \in N_e} H_{ei}} \sum_{i \in N_e} H_{ei} x_i$$

$$\frac{\partial \psi}{\partial x_j} = \sum_{e \in N_j} \frac{\partial \psi}{\partial \tilde{x}_e} \frac{\partial \tilde{x}_e}{\partial x_j} = \sum_{e \in N_j} \frac{1}{\sum_{i \in N_e} H_{ei}} H_{je} \frac{\partial \psi}{\partial \tilde{x}_e}$$

Ver código SIMP 88 linhas
(lá é matriz!!!).

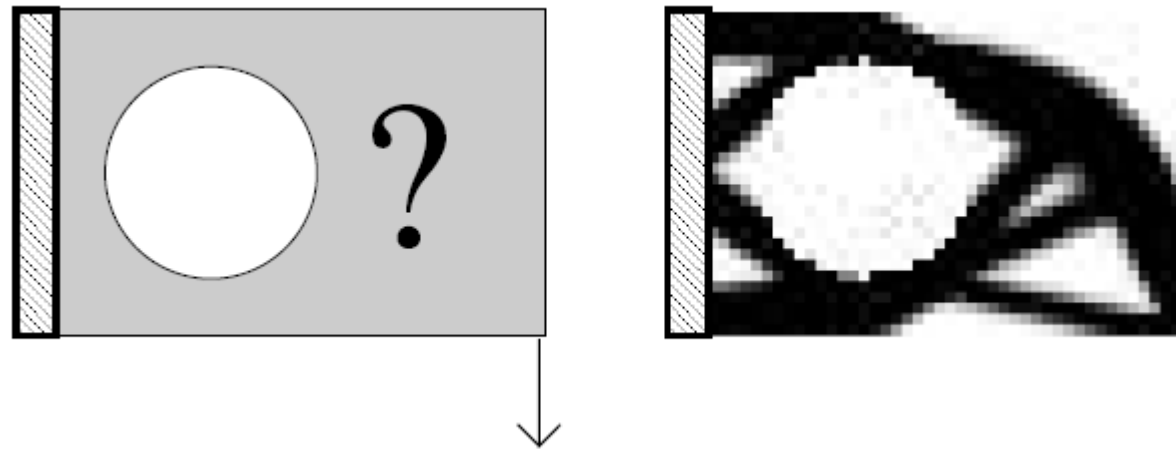
Problemas numéricos

- Solução: filtros numéricos.



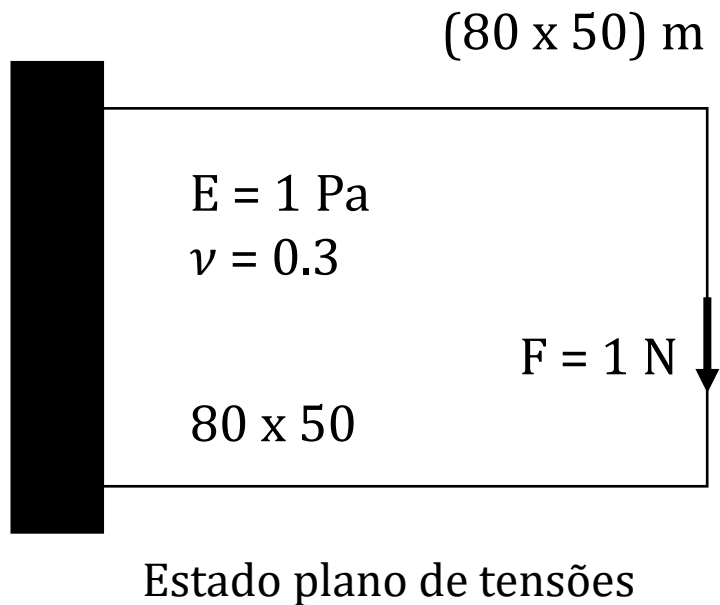
Média ponderada

Domínio não-otimizável (non-design domain)



Seguir as instruções do artigo do 99 linhas e adaptar o código para considerar domínio passivo (não-otimizável) – do it at home for fun!

Exercício 2



```
% Optimization parameters  
rmin = 3;  
penalty = 3;  
final_volume_fraction = 0.5;
```

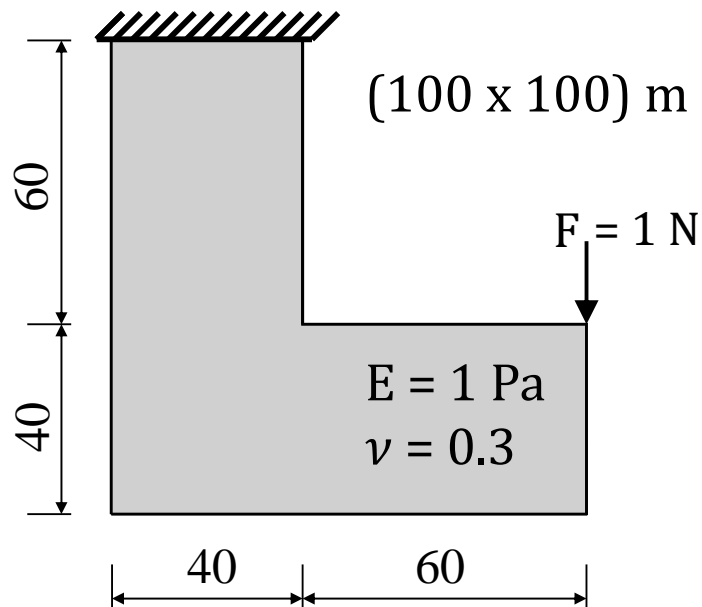
$$\begin{aligned} \text{minimizar} \quad & C(x_i) = \mathbf{F}^T \mathbf{U} \\ \text{tal que} \quad & V(x_i) - \bar{V} \leq 0 \\ & 0 \leq x_i \leq 1 \end{aligned}$$

Roteiro:

1. Atualizar a função do filtro no código com a rotina fornecida (**Atenção! Esse filtro é implementado em função da unidade de comprimento, e.g., $r_{\min} = 3 \text{ m}$**).
2. Extrair (copiar e colar) a função OC do código SIMP 99 linhas e salvar em seu diretório.
3. Realizar o loop de otimização utilizando o seu código.
 - Resolver equação de equilíbrio.
 - Calcular a sensibilidade da $C(x_i)$. Filtrar.
 - Chamar o otimizador OC (atualizar as variáveis).
 - Avaliar a convergência $(x_i^k - x_i^{k-1})$.
 - Plotar as variáveis de projeto.



Exercício 3



Estado plano de tensões

```
% Optimization parameters  
rmin = 3;  
penalty = 3;  
final_volume_fraction = 0.4;
```

$$\begin{aligned} &\text{minimizar} && C(x_i) = \mathbf{F}^T \mathbf{U} \\ &\text{tal que} && V(x_i) - \bar{V} \leq 0 \\ &&& 0 \leq x_i \leq 1 \end{aligned}$$



Ponto de partida, código do slide anterior.

Roteiro:

1. Identificar a região não otimizável (passiva) antes do loop de otimização e zerar as variáveis de projeto dessa região para formar a viga em L dentro do domínio quadrado 100 x 100.
2. Antes de chamar o otimizador OC, zerar as sensibilidades da região passiva.

Dica para o futuro: um engano comum é considerar a restrição de volume para o domínio inteiro 100 x 100, enquanto a estrutura cheia na verdade ocupa um espaço menor inicial.

Method of Moving Asymptotes (MMA)

Throughout this paper, optimization problems on the following form are considered, where the variables are $x = (x_1, \dots, x_n)^T \in \mathbb{R}^n$, $y = (y_1, \dots, y_m)^T \in \mathbb{R}^m$ and $z \in \mathbb{R}$.

$$\begin{aligned} & \text{minimize} && f_0(x) + z + \sum_{i=1}^m (c_i y_i + \frac{1}{2} d_i y_i^2) \\ & \text{subject to} && f_i(x) - a_i z - y_i \leq 0, && i = 1, \dots, m \\ & && x_j^{\min} \leq x_j \leq x_j^{\max}, && j = 1, \dots, n \\ & && y_i \geq 0, && i = 1, \dots, m \\ & && z \geq 0, \end{aligned} \tag{1.1}$$

Here, f_0, f_1, \dots, f_m are given, continuously differentiable, real-valued functions.

x_j^{\min} and x_j^{\max} are given real numbers such that, for each j , $x_j^{\min} < x_j^{\max}$.

a_i, c_i and d_i are given non-negative real numbers such that, for each i , $c_i + d_i > 0$.

Svanberg (1998) – Lecture notes

http://www.ingveh.ulg.ac.be/uploads/education/meca-0027-1/MMA_DCAMM_1998.pdf

Method of Moving Asymptotes (MMA)

Assume that one wants to solve a problem on the following “standard” form for non-linear programming.

$$\begin{aligned} & \text{minimize} && f_0(x) \\ & \text{subject to} && f_i(x) \leq 0, && i = 1, \dots, m \\ & && x_j^{\min} \leq x_j \leq x_j^{\max}, && j = 1, \dots, n \end{aligned} \tag{2.1}$$

The parameters a_i , c_i and d_i should then be chosen as follows in problem (1.1).

For each i , let $a_i = 0$. Then $z = 0$ in any optimal solution of (1.1). Further, for each i , let $d_i = 0$ and $c_i =$ “a large number”, so that the variables y_i become “expensive”. Then typically $y_i = 0$ in any optimal solution of (1.1), and the corresponding x is an optimal solution of (2.1).

Svanberg (1998) – Lecture notes

http://www.ingveh.ulg.ac.be/uploads/education/meca-0027-1/MMA_DCAMM_1998.pdf

Method of Moving Asymptotes (MMA)

```
% MMA parameters
m      = 1;           % The number of general constraints.
n      = length(fea.mesh.incidence); % The number of design variables x_j.
xold1  = densities;  % xval, one iteration ago (provided that iter>1).
xold2  = densities;  % xval, two iterations ago (provided that iter>2).
xmin   = rho_min*ones(n,1); % Column vector with the lower bounds for the variables x_j.
xmax   = ones(n,1);   % Column vector with the upper bounds for the variables x_j.
low    = xmin;       % Column vector with the lower asymptotes from the previous iteration.
upp    = xmax;       % Column vector with the upper asymptotes from the previous iteration.
a0     = 1;          % The constants a_0 in the term a_0*z.
a_i    = zeros(m,1); % Column vector with the constants a_i in the terms a_i*z.
cMMA   = 1000*ones(m,1); % Column vector with the constants c_i in the terms c_i*y_i.
d_i    = zeros(m,1); % Column vector with the constants d_i in the terms 0.5*d_i*(y_i)^2.
```

```

% Calling MMA subfunction
[densities_new, ~, ~, ~, ~, ~, ~, ~, ~, low,upp] = ...
mmasub(m, n, loop, densities, xmin, xmax, xold1, xold2, ...
objective,objective_sensitivities,0*objective_sensitivities,...
constraints,constraints_sensitivities',0*constraints_sensitivities',...
low,upp,a0,a_i,cMMA,d_i);

% Updating densities
xold2      = xold1;
xold1      = densities;
densities  = densities_new;

```

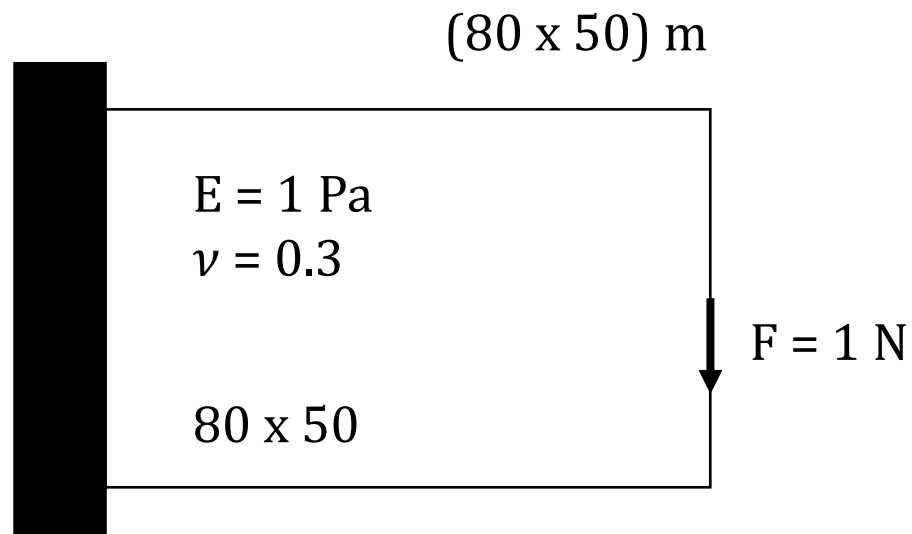
```

% Calling MMA subfunction
[densities_new, ~, ~, ~, ~, ~, ~, ~, ~, low,upp] = ...
mma_movelim(m, n, loop, densities, xmin, xmax, xold1, xold2, ...
objective,objective_sensitivities,0*objective_sensitivities,...
constraints,constraints_sensitivities',0*constraints_sensitivities',...
low,upp,a0,a_i,cMMA,d_i,move_limit);

% Updating densities
xold2      = xold1;
xold1      = densities;
densities  = densities_new;

```

Exercício 4



Estado plano de tensões

```
% Optimization parameters  
rmin = 3;  
penalty = 3;  
final_volume_fraction = 0.5;
```

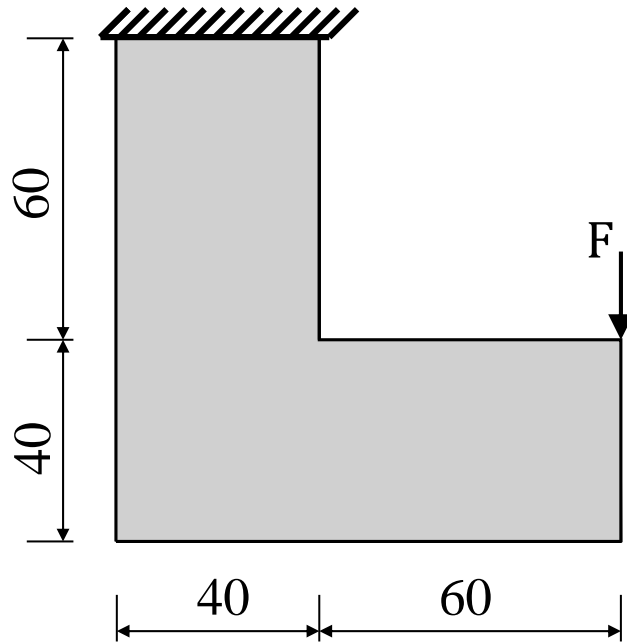
minimizar $C(x_i) = \mathbf{F}^T \mathbf{U}$
tal que $V(x_i) - \bar{V} \leq 0$
 $0 < x_{\min} \leq x_i \leq 1$

Roteiro:

1. Inserir o cálculo da sensibilidade da restrição de volume.
2. Usar MMA no lugar do OC.
 - Preparar parâmetros do MMA antes do loop de otimização.
 - Chamar o MMA como solver.
 - Atualizar o histórico de variáveis de projeto.
3. Utilizar filtro de densidade.

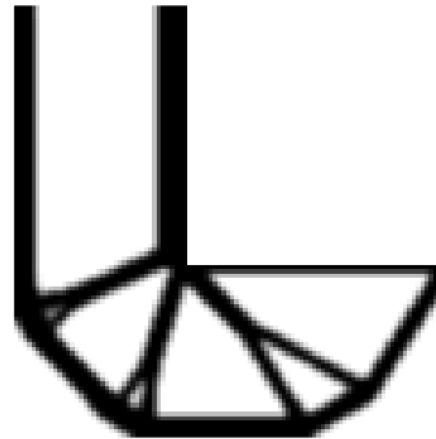


Problema da tensão mecânica

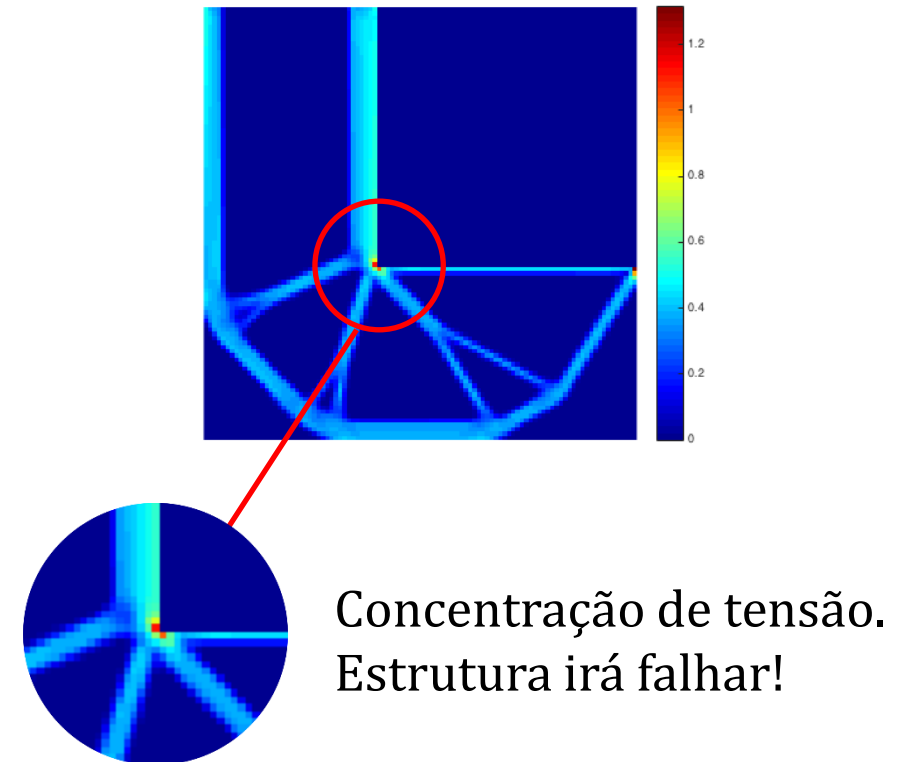


Máxima rigidez;
 $V \leq 40\%$

Topologia otimizada



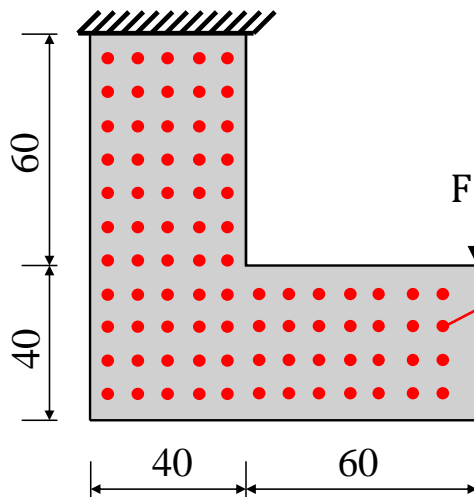
Tensão de von Mises



Concentração de tensão.
Estrutura irá falhar!

Problema da tensão mecânica

- **Objetivo** muito frequente em projeto estrutural.
- **Evitar o re-projeto** devido a falha mecânica.
- Projetar **estruturas leves** mas evitando **concentração de tensões**.
- Controlar o limite de tensão em todos os pontos do domínio:

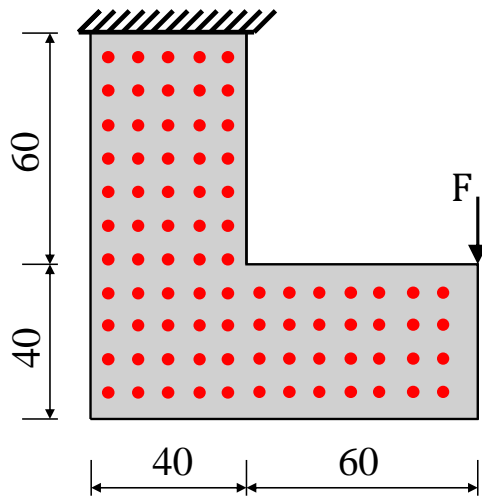


Tantas restrições quanto pontos de controle tiver.
Muitas restrições e difícil de se resolver!

$$\sigma_i \leq \bar{\sigma}$$

Problema da tensão mecânica

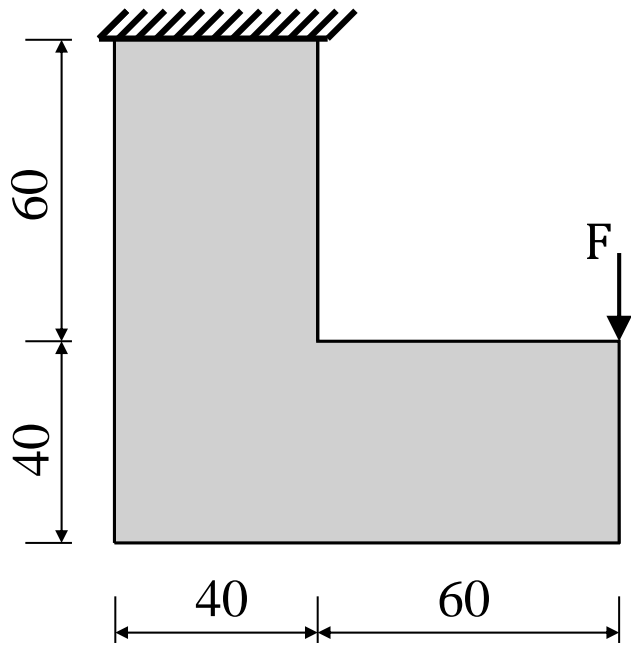
- Medida de tensão global: a **função p-norm**.



$$\sigma_{PN} = \left(\sum_{e=1}^N v_e \sigma_e^P \right)^{1/P} \leq \bar{\sigma}_{PN}$$

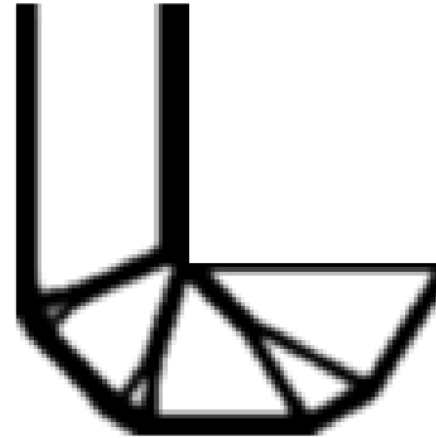
- Agrega todos os pontos de controle em uma só função.
- A função se aproxima da tensão máxima quando P aumenta.

Problema da tensão

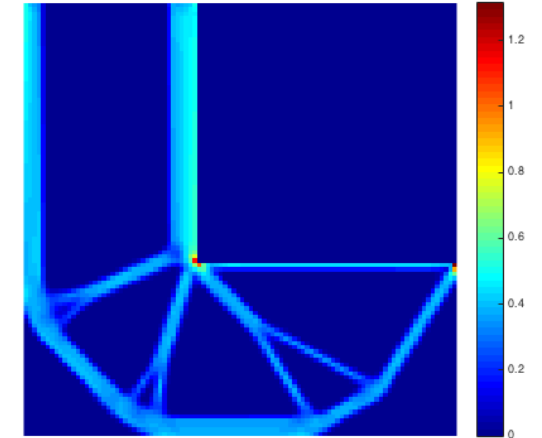


Máxima rigidez

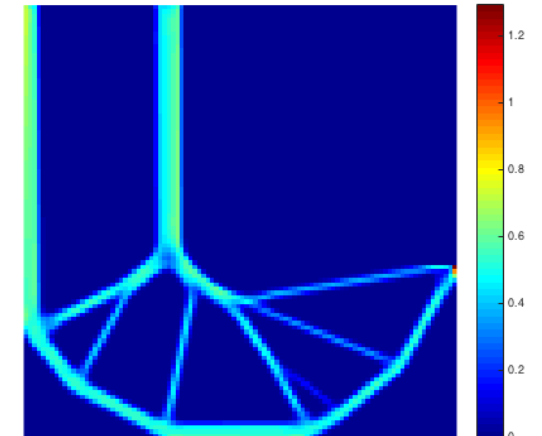
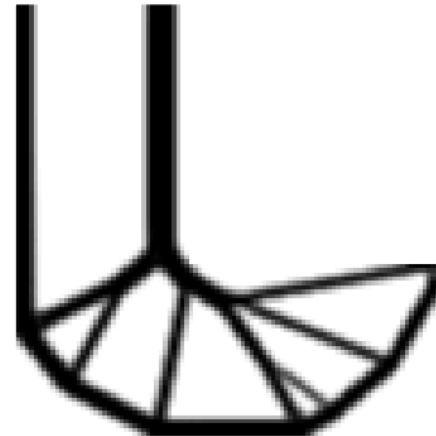
Solução



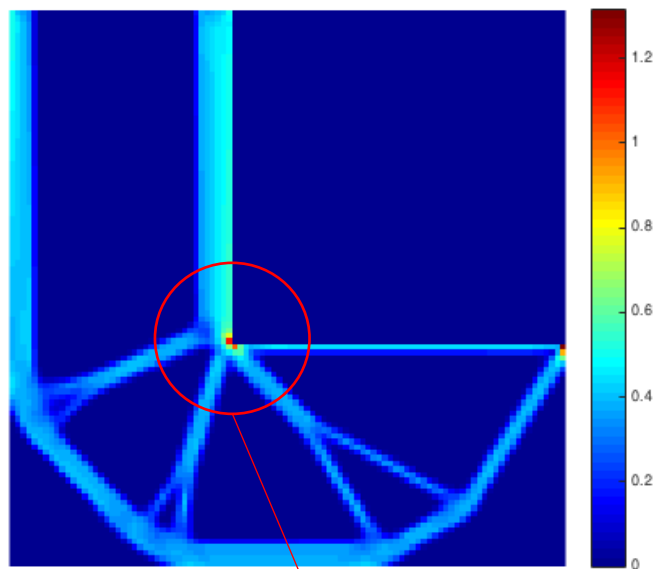
tensão de von Mises



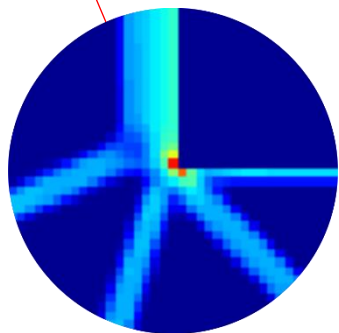
Mínima tensão p-norm



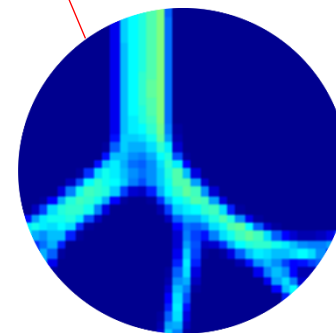
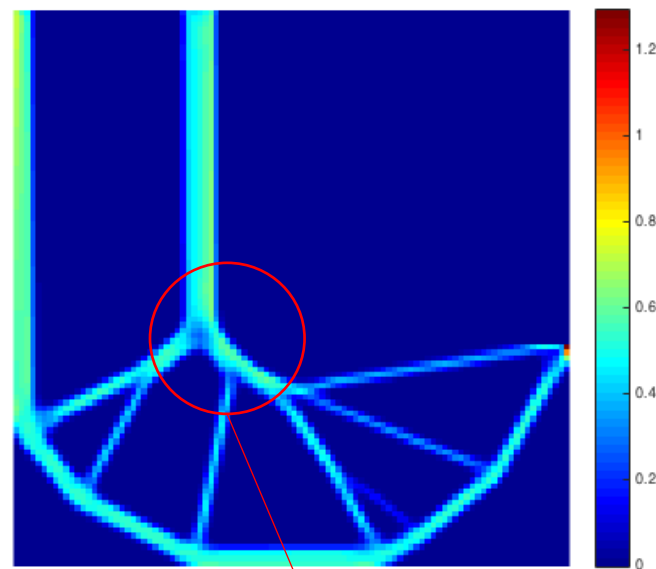
Solução para *compliance*



concentração de tensões



Solução para tensão



Minimização da tensão mecânica via função p-norm

$$\begin{aligned} \text{minimizar} \quad & \sigma_{PN} = \left(\sum_{i=1}^N V_i \sigma_i^P \right)^{1/P} \\ \text{tal que} \quad & V(x_i) - \bar{V} \leq 0 \\ & 0 \leq x_i \leq 1 \end{aligned}$$

Exercício resolvido – Condução de calor

Com poucas modificações no algoritmo disponibilizado no Moodle (99 lines) podemos alterar a física do código de um problema de equilíbrio para um problema de elasticidade para a solução de um problema de condução de calor.

De forma análoga ao problema de “compliance estrutural”, temos o “compliance de condução”. Além disso, consideramos que os “vazios” são ocupados por um outro matéria com condutividade k_2 e a região com variável de projeto igual a 1, com condutividade k_1 . De tal forma que podemos escrever nosso problema de otimização:

$$\begin{aligned} \text{minimizar} \quad & C(x_i) = \mathbf{U}^T \mathbf{K}_e(\mathbf{x}) \mathbf{U} & \mathbf{K}_e &= \mathbf{x}^p \mathbf{K}_1 + (1 - \mathbf{x}^p) \mathbf{K}_2 \\ \text{tal que} \quad & V(x_i) - \bar{V} \leq 0 & \mathbf{K}_e &= \mathbf{K}_2 + \mathbf{x}^p (\mathbf{K}_1 - \mathbf{K}_2) \\ & 0 < x_{\min} \leq x_i \leq 1 \end{aligned}$$

Exercício resolvido – Condução de calor

As primeiras mudanças no código 99 lines são na extração das matrizes de resposta locais (U_e) já que agora temos um grau de liberdade a menos por nó, na função objetivo e na sua sensibilidade.

Linhas 20 a 22:

De:

```
Ue = U([2*n1-1;2*n1; 2*n2-1;2*n2; 2*n2+1;2*n2+2; 2*n1+1;2*n1+2],1);  
c = c + x(ely,elx)^penal*Ue'*KE*Ue;  
dc(ely,elx) = -penal*x(ely,elx)^(penal-1)*Ue'*KE*Ue;
```

Para:

```
Ue = U([n1;n2;n2+1;n1+1],1);  
c = c + (kappa2+(kappa1-kappa2)*x(ely,elx)^penal)*Ue'*KE*Ue;  
dc(ely,elx) = -(kappa1-kappa2)*penal*x(ely,elx)^(penal-1)*Ue'*KE*Ue;
```

Exercício resolvido – Condução de calor

Observe que como só metade parte do material presente no domínio é dado em função de x , a sensibilidade só leva em conta parte da distribuição. De tal forma que é assumido que onde não há o material governado por k_1 , há o segundo material com condutividade k_2 .

A segunda mudança ocorre na definição das matrizes globais.

Linhas 68-69

De:

```
K = sparse(2*(nelx+1)*(nely+1), 2*(nelx+1)*(nely+1));  
F = sparse(2*(nely+1)*(nelx+1), 1); U = zeros(2*(nely+1)*(nelx+1), 1);
```

Para:

```
K = sparse((nelx+1)*(nely+1), (nelx+1)*(nely+1));  
F = sparse((nely+1)*(nelx+1), 1); U = sparse((nely+1)*(nelx+1), 1);
```

Exercício resolvido – Condução de calor

Em seguida, mudamos a contagem dos graus de liberdade para a montagem da matriz global já que os reduzimos pela metade.

Linhas 74-75

De:

```
edof = [2*n1-1; 2*n1; 2*n2-1; 2*n2; 2*n2+1; 2*n2+2; 2*n1+1; 2*n1+2];  
K(edof,edof) = K(edof,edof) + x(ely,elx)^penal*KE;
```

Para:

```
edof = [n1; n2; n2+1; n1+1];  
K(edof,edof) = K(edof,edof) + ((kappa1-kappa2)*x(ely,elx)^penal)*KE;
```

Note a facilidade em construir a matriz global. Isso deve ao fato de que estamos usando uma malha estruturada.

Exercício resolvido – Condução de calor

Agora mudamos as condições de contorno

Linhas 78-81

De:

```
% DEFINE LOADS AND SUPPORTS (HALF MBB-BEAM)
F(2,1) = -1;
fixeddofs = union([1:2:2*(nely+1)], [2*(nelx+1)*(nely+1)]);
alldofs = [1:2*(nely+1)*(nelx+1)];
freedofs = setdiff(alldofs, fixeddofs);
```

Para:

```
% DEFINE LOADS AND SUPPORTS (SQUARE PLATE WITH HEAT SINK)
F(:,1) = 0.01;
fixeddofs = [nely/2+1-(nely/20):2:nely/2+1+(nely/20)];
alldofs = [1:(nely+1)*(nelx+1)];
freedofs = setdiff(alldofs, fixeddofs);
```

Aqui existe um problema quanto a forma que o termo fonte é imposto. Você saberia qual é esse problema?

Exercício resolvido – Condução de calor

E por fim, mudamos a definição de matriz de rigidez:

Linhas 88-99

De:

```
E = 1.;
nu = 0.3;
k=[ 1/2-nu/6    1/8+nu/8  -1/4-nu/12  -1/8+3*nu/8  ...
    -1/4+nu/12  -1/8-nu/8   nu/6        1/8-3*nu/8];
KE = E/(1-nu^2)*[ k(1)  k(2)  k(3)  k(4)  k(5)  k(6)  k(7)  k(8)
                  k(2)  k(1)  k(8)  k(7)  k(6)  k(5)  k(4)  k(3)
                  k(3)  k(8)  k(1)  k(6)  k(7)  k(4)  k(5)  k(2)
                  k(4)  k(7)  k(6)  k(1)  k(8)  k(3)  k(2)  k(5)
                  k(5)  k(6)  k(7)  k(8)  k(1)  k(2)  k(3)  k(4)
                  k(6)  k(5)  k(4)  k(3)  k(2)  k(1)  k(8)  k(7)
                  k(7)  k(4)  k(5)  k(2)  k(3)  k(8)  k(1)  k(6)
                  k(8)  k(3)  k(2)  k(5)  k(4)  k(7)  k(6)  k(1) ];
```

Exercício resolvido – Condução de calor

Para:

$$KE = \begin{bmatrix} 2/3 & -1/6 & -1/3 & -1/6 \\ -1/6 & 2/3 & -1/6 & -1/3 \\ -1/3 & -1/6 & 2/3 & -1/6 \\ -1/6 & -1/3 & -1/6 & 2/3 \end{bmatrix};$$

Ao rodar com $\kappa_1 = 1$ e $\kappa_2 = 0.001$, o seguinte plot deve ser visualizado:

Digite no terminal:

```
toph(80,80,0.4,3.0,1.2, 0.1, 0.0001)
```

Teste outros valores de κ_1 e κ_2 , cuidado que eles são definidos dentro de duas funções (linhas 6 e 7 e nas linhas 73 e 74)

